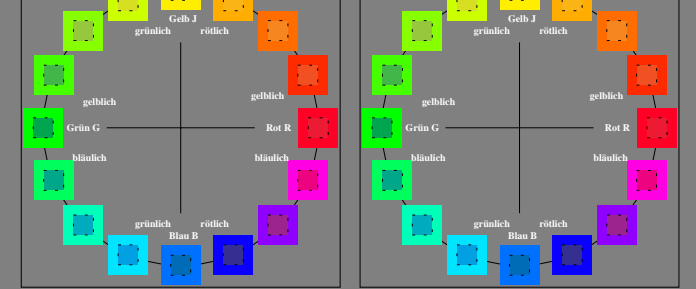
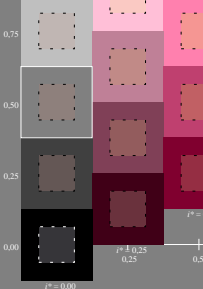


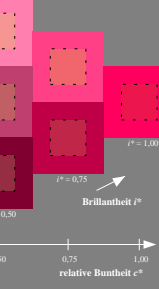
Ein und Ausgabe: Farbmetrisches Drucker-Reflexiv-System ORS19_96a
 Daten für jede Farbe:
 u^*_c und Nummer $N_c = 00..15$
 Elementar-Bunttonexte:
 $u^*_c = 16$ Bunttonexte $r00r, r25r, \dots, b75r$
 Kontrastreduzierungsfaktor:
 $c^*_R = 1.0$



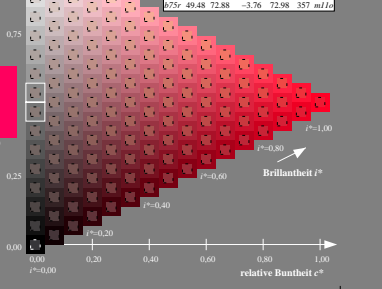
Ein und Ausgabe: Farbmetrisches Drucker-Reflexiv-System ORS19_96, L*=19.96 für relative CIELAB-Buntton $h^* = lab^*h^* = h_{360}/360 = 0.071$ $u^*_c = r00r$
 Daten für jede Farbe:
 lab^*h^* und lab^*i^*
 Bunttonexte:
 $u^*_c = r00r$ $u^*_d = m84r$
 Kontrastreduzierungsfaktor:
 $c^*_R = 1.0$
 Dreiecks-Helligkeit i^*



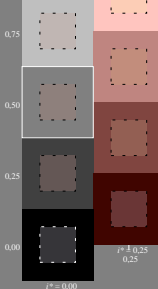
Ein und Ausgabe: Farbmetrisches Drucker-Reflexiv-System ORS19_96, L*=19.96 für relative CIELAB-Buntton $h^* = lab^*h^* = h_{360}/360 = 0.071$ $u^*_c = r00r$
 Daten für Maximalfarbe (Ma):
 LAB*/LAB*/Ma: 49 66 32
 LAB*/L*/L*/Ma: 1.0 0.0 0.0
 LAB*/a*/a*/Ma: 1.0 0.0 0.15
 LAB*/b*/b*/Ma: 1.0 0.0 0.15
 Dreiecks-Helligkeit i^*



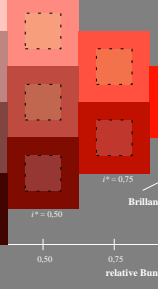
Ein und Ausgabe: Farbmetrisches Drucker-Reflexiv-System ORS19_96, L*=19.96 für relative CIELAB-Buntton $h^* = lab^*h^* = h_{360}/360 = 0.117$ $u^*_c = r25r$
 Daten für jede Farbe:
 lab^*h^* und lab^*i^*
 Bunttonexte:
 $u^*_c = r25r$ $u^*_d = o17r$
 Kontrastreduzierungsfaktor:
 $c^*_R = 1.0$
 Dreiecks-Helligkeit i^*



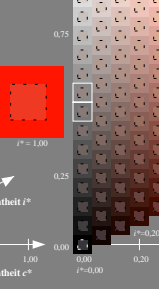
Ein und Ausgabe: Farbmetrisches Drucker-Reflexiv-System ORS19_96, L*=19.96 für relative CIELAB-Buntton $h^* = lab^*h^* = h_{360}/360 = 0.117$ $u^*_c = r25r$
 Daten für Maximalfarbe (Ma):
 LAB*/LAB*/Ma: 56 52 47
 LAB*/L*/L*/Ma: 1.0 0.15 0.0
 LAB*/a*/a*/Ma: 1.0 0.15 0.0
 LAB*/b*/b*/Ma: 1.0 0.15 0.0
 Dreiecks-Helligkeit i^*



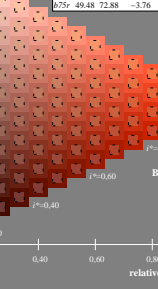
Ein und Ausgabe: Farbmetrisches Drucker-Reflexiv-System ORS19_96, L*=19.96 für relative CIELAB-Buntton $h^* = lab^*h^* = h_{360}/360 = 0.164$ $u^*_c = r50r$
 Daten für jede Farbe:
 lab^*h^* und lab^*i^*
 Bunttonexte:
 $u^*_c = r50r$ $u^*_d = a42r$
 Kontrastreduzierungsfaktor:
 $c^*_R = 1.0$
 Dreiecks-Helligkeit i^*



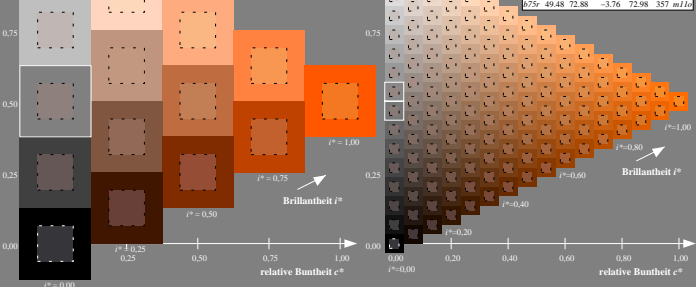
Ein und Ausgabe: Farbmetrisches Drucker-Reflexiv-System ORS19_96, L*=19.96 für relative CIELAB-Buntton $h^* = lab^*h^* = h_{360}/360 = 0.21$ $u^*_c = r75r$
 Daten für jede Farbe:
 lab^*h^* und lab^*i^*
 Bunttonexte:
 $u^*_c = r75r$ $u^*_d = a67r$
 Kontrastreduzierungsfaktor:
 $c^*_R = 1.0$
 Dreiecks-Helligkeit i^*



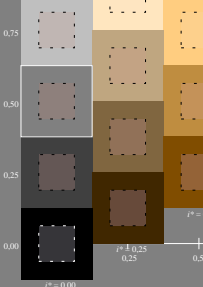
Ein und Ausgabe: Farbmetrisches Drucker-Reflexiv-System ORS19_96, L*=19.96 für relative CIELAB-Buntton $h^* = lab^*h^* = h_{360}/360 = 0.256$ $u^*_c = j00g$
 Daten für jede Farbe:
 lab^*h^* und lab^*i^*
 Bunttonexte:
 $u^*_c = j00g$ $u^*_d = a92r$
 Kontrastreduzierungsfaktor:
 $c^*_R = 1.0$
 Dreiecks-Helligkeit i^*



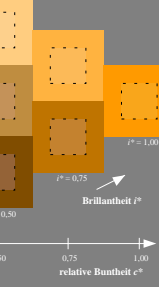
Ein und Ausgabe: Farbmetrisches Drucker-Reflexiv-System ORS19_96, L*=19.96 für relative CIELAB-Buntton $h^* = lab^*h^* = h_{360}/360 = 0.305$ $u^*_c = j25g$
 Daten für jede Farbe:
 lab^*h^* und lab^*i^*
 Bunttonexte:
 $u^*_c = j25g$ $u^*_d = y20l$
 Kontrastreduzierungsfaktor:
 $c^*_R = 1.0$
 Dreiecks-Helligkeit i^*



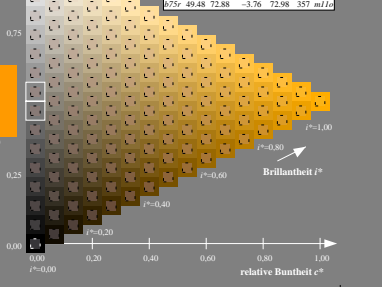
Ein und Ausgabe: Farbmetrisches Drucker-Reflexiv-System ORS19_96, L*=19.96 für relative CIELAB-Buntton $h^* = lab^*h^* = h_{360}/360 = 0.354$ $u^*_c = j50g$
 Daten für jede Farbe:
 lab^*h^* und lab^*i^*
 Bunttonexte:
 $u^*_c = j50g$ $u^*_d = y47l$
 Kontrastreduzierungsfaktor:
 $c^*_R = 1.0$
 Dreiecks-Helligkeit i^*



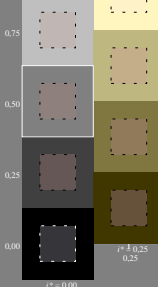
Ein und Ausgabe: Farbmetrisches Drucker-Reflexiv-System ORS19_96, L*=19.96 für relative CIELAB-Buntton $h^* = lab^*h^* = h_{360}/360 = 0.402$ $u^*_c = j75g$
 Daten für jede Farbe:
 lab^*h^* und lab^*i^*
 Bunttonexte:
 $u^*_c = j75g$ $u^*_d = y72l$
 Kontrastreduzierungsfaktor:
 $c^*_R = 1.0$
 Dreiecks-Helligkeit i^*



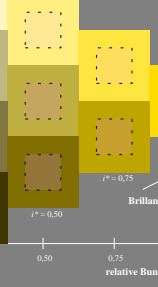
Ein und Ausgabe: Farbmetrisches Drucker-Reflexiv-System ORS19_96, L*=19.96 für relative CIELAB-Buntton $h^* = lab^*h^* = h_{360}/360 = 0.451$ $u^*_c = j00g$
 Daten für jede Farbe:
 lab^*h^* und lab^*i^*
 Bunttonexte:
 $u^*_c = j00g$ $u^*_d = y97l$
 Kontrastreduzierungsfaktor:
 $c^*_R = 1.0$
 Dreiecks-Helligkeit i^*



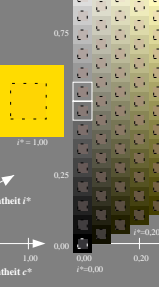
Ein und Ausgabe: Farbmetrisches Drucker-Reflexiv-System ORS19_96, L*=19.96 für relative CIELAB-Buntton $h^* = lab^*h^* = h_{360}/360 = 0.500$ $u^*_c = j25g$
 Daten für jede Farbe:
 lab^*h^* und lab^*i^*
 Bunttonexte:
 $u^*_c = j25g$ $u^*_d = y20l$
 Kontrastreduzierungsfaktor:
 $c^*_R = 1.0$
 Dreiecks-Helligkeit i^*



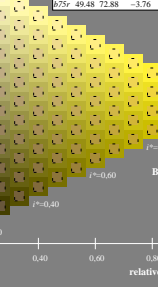
Ein und Ausgabe: Farbmetrisches Drucker-Reflexiv-System ORS19_96, L*=19.96 für relative CIELAB-Buntton $h^* = lab^*h^* = h_{360}/360 = 0.549$ $u^*_c = j50g$
 Daten für jede Farbe:
 lab^*h^* und lab^*i^*
 Bunttonexte:
 $u^*_c = j50g$ $u^*_d = y47l$
 Kontrastreduzierungsfaktor:
 $c^*_R = 1.0$
 Dreiecks-Helligkeit i^*



Ein und Ausgabe: Farbmetrisches Drucker-Reflexiv-System ORS19_96, L*=19.96 für relative CIELAB-Buntton $h^* = lab^*h^* = h_{360}/360 = 0.598$ $u^*_c = j75g$
 Daten für jede Farbe:
 lab^*h^* und lab^*i^*
 Bunttonexte:
 $u^*_c = j75g$ $u^*_d = y72l$
 Kontrastreduzierungsfaktor:
 $c^*_R = 1.0$
 Dreiecks-Helligkeit i^*



Ein und Ausgabe: Farbmetrisches Drucker-Reflexiv-System ORS19_96, L*=19.96 für relative CIELAB-Buntton $h^* = lab^*h^* = h_{360}/360 = 0.647$ $u^*_c = j00g$
 Daten für jede Farbe:
 lab^*h^* und lab^*i^*
 Bunttonexte:
 $u^*_c = j00g$ $u^*_d = y97l$
 Kontrastreduzierungsfaktor:
 $c^*_R = 1.0$
 Dreiecks-Helligkeit i^*



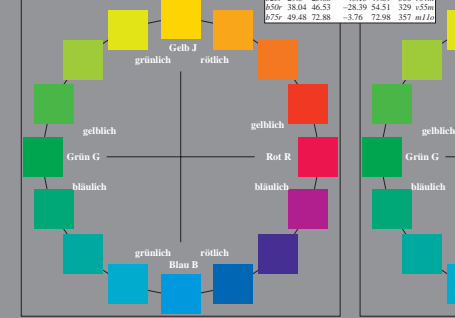
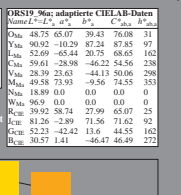
Ein und Ausgabe: Farbmetrisches Drucker-Reflexiv-System ORS19_96a
 Daten für jede Farbe:
 $u^*_c =$ Nummer $N_c = 00...15$
 Elementar-Bunttonexte:
 $u^*_c = 16$ Bunttonexte $r00r, r25j, \dots, b75r$
 Kontrastreduzierungsfaktor:
 $c_k = 1.0$

ORS19_96a; adaptierte CIELAB-Daten
 L^* , L^* , a^* , b^* , C_{ab}^* , h^*_{ab} , u^*_c

000	48.88	66.47	31.67	73.63	25	m840	
010	58.55	52.39	47.48	70.14	42	o17s	
020	65.43	35.22	58.37	68.17	59	o42s	
030	75.19	17.82	69.41	71.66	76	o67s	
040	87.03	-3.35	82.83	82.19	92	o92s	
050	80.72	-25.01	69.5	73.86	110	z200	
060	70.64	-39.64	51.97	65.3	127	o60	
070	61.93	-52.1	36.83	63.8	145	z720	
080	52.8	-65.28	20.93	68.56	162	o90	
090	42.57	-89.58	-8.39	90.28	190	l06	
100	57.82	-38.4	-28.92	48.07	217	l72c	
110	67.55	-22.06	-45.05	50.97	244	l110	
120	60.06	41.6	1.37	-45.01	272	c50	
130	62.9	29.0	25.08	-43.13	299	o16m	
140	50.6	38.04	46.53	-28.39	345.1	z29	
150	49.88	48.88	48.88	-3.76	72.98	357	m110

ORS19_96a; adaptierte CIELAB-Daten
 L^* , L^* , a^* , b^* , C_{ab}^* , h^*_{ab} , u^*_c

000	48.75	65.07	39.43	76.08	31		
010	58.55	52.39	47.48	70.14	42		
020	65.43	35.22	58.37	68.17	59		
030	75.19	17.82	69.41	71.66	76		
040	87.03	-3.35	82.83	82.19	92		
050	80.72	-25.01	69.5	73.86	110		
060	70.64	-39.64	51.97	65.3	127		
070	61.93	-52.1	36.83	63.8	145		
080	52.8	-65.28	20.93	68.56	162		
090	42.57	-89.58	-8.39	90.28	190		
100	57.82	-38.4	-28.92	48.07	217		
110	67.55	-22.06	-45.05	50.97	244		
120	60.06	41.6	1.37	-45.01	272		
130	62.9	29.0	25.08	-43.13	299		
140	50.6	38.04	46.53	-28.39	345.1		
150	49.88	48.88	48.88	-3.76	72.98	357	



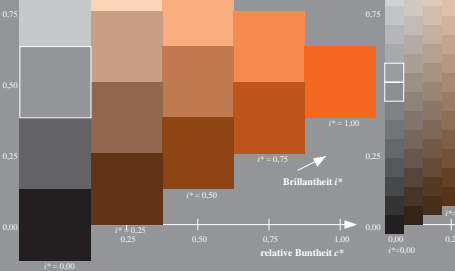
Ein und Ausgabe: Farbmetrisches Drucker-Reflexiv-System ORS19_96, L* = 19_96 für relative CIELAB-Buntton $h^* = lab^*h^* = h_{ab}/360 = 0.164$ $u^*_c = r50j$

ORS19_96a; adaptierte CIELAB-Daten
 L^* , L^* , a^* , b^* , C_{ab}^* , h^*_{ab} , u^*_c

000	48.88	66.47	31.67	73.63	25	m840	
010	58.55	52.39	47.48	70.14	42	o17s	
020	65.43	35.22	58.37	68.17	59	o42s	
030	75.19	17.82	69.41	71.66	76	o67s	
040	87.03	-3.35	82.83	82.19	92	o92s	
050	80.72	-25.01	69.5	73.86	110	z200	
060	70.64	-39.64	51.97	65.3	127	o60	
070	61.93	-52.1	36.83	63.8	145	z720	
080	52.8	-65.28	20.93	68.56	162	o90	
090	42.57	-89.58	-8.39	90.28	190	l06	
100	57.82	-38.4	-28.92	48.07	217	l72c	
110	67.55	-22.06	-45.05	50.97	244	l110	
120	60.06	41.6	1.37	-45.01	272	c50	
130	62.9	29.0	25.08	-43.13	299	o16m	
140	50.6	38.04	46.53	-28.39	345.1	z29	
150	49.88	48.88	48.88	-3.76	72.98	357	m110

ORS19_96a; adaptierte CIELAB-Daten
 L^* , L^* , a^* , b^* , C_{ab}^* , h^*_{ab} , u^*_c

000	48.75	65.07	39.43	76.08	31		
010	58.55	52.39	47.48	70.14	42		
020	65.43	35.22	58.37	68.17	59		
030	75.19	17.82	69.41	71.66	76		
040	87.03	-3.35	82.83	82.19	92		
050	80.72	-25.01	69.5	73.86	110		
060	70.64	-39.64	51.97	65.3	127		
070	61.93	-52.1	36.83	63.8	145		
080	52.8	-65.28	20.93	68.56	162		
090	42.57	-89.58	-8.39	90.28	190		
100	57.82	-38.4	-28.92	48.07	217		
110	67.55	-22.06	-45.05	50.97	244		
120	60.06	41.6	1.37	-45.01	272		
130	62.9	29.0	25.08	-43.13	299		
140	50.6	38.04	46.53	-28.39	345.1		
150	49.88	48.88	48.88	-3.76	72.98	357	



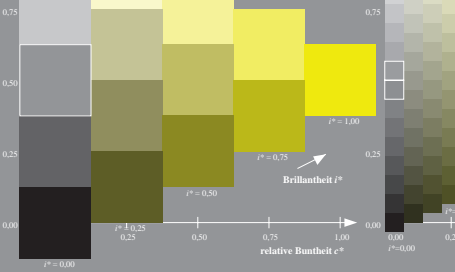
Ein und Ausgabe: Farbmetrisches Drucker-Reflexiv-System ORS19_96, L* = 19_96 für relative CIELAB-Buntton $h^* = lab^*h^* = h_{ab}/360 = 0.164$ $u^*_c = r50j$

ORS19_96a; adaptierte CIELAB-Daten
 L^* , L^* , a^* , b^* , C_{ab}^* , h^*_{ab} , u^*_c

000	48.88	66.47	31.67	73.63	25	m840	
010	58.55	52.39	47.48	70.14	42	o17s	
020	65.43	35.22	58.37	68.17	59	o42s	
030	75.19	17.82	69.41	71.66	76	o67s	
040	87.03	-3.35	82.83	82.19	92	o92s	
050	80.72	-25.01	69.5	73.86	110	z200	
060	70.64	-39.64	51.97	65.3	127	o60	
070	61.93	-52.1	36.83	63.8	145	z720	
080	52.8	-65.28	20.93	68.56	162	o90	
090	42.57	-89.58	-8.39	90.28	190	l06	
100	57.82	-38.4	-28.92	48.07	217	l72c	
110	67.55	-22.06	-45.05	50.97	244	l110	
120	60.06	41.6	1.37	-45.01	272	c50	
130	62.9	29.0	25.08	-43.13	299	o16m	
140	50.6	38.04	46.53	-28.39	345.1	z29	
150	49.88	48.88	48.88	-3.76	72.98	357	m110

ORS19_96a; adaptierte CIELAB-Daten
 L^* , L^* , a^* , b^* , C_{ab}^* , h^*_{ab} , u^*_c

000	48.75	65.07	39.43	76.08	31		
010	58.55	52.39	47.48	70.14	42		
020	65.43	35.22	58.37	68.17	59		
030	75.19	17.82	69.41	71.66	76		
040	87.03	-3.35	82.83	82.19	92		
050	80.72	-25.01	69.5	73.86	110		
060	70.64	-39.64	51.97	65.3	127		
070	61.93	-52.1	36.83	63.8	145		
080	52.8	-65.28	20.93	68.56	162		
090	42.57	-89.58	-8.39	90.28	190		
100	57.82	-38.4	-28.92	48.07	217		
110	67.55	-22.06	-45.05	50.97	244		
120	60.06	41.6	1.37	-45.01	272		
130	62.9	29.0	25.08	-43.13	299		
140	50.6	38.04	46.53	-28.39	345.1		
150	49.88	48.88	48.88	-3.76	72.98	357	



Ein und Ausgabe: Farbmetrisches Drucker-Reflexiv-System ORS19_96, L* = 19_96 für relative CIELAB-Buntton $h^* = lab^*h^* = h_{ab}/360 = 0.164$ $u^*_c = r50j$

ORS19_96a; adaptierte CIELAB-Daten
 L^* , L^* , a^* , b^* , C_{ab}^* , h^*_{ab} , u^*_c

000	48.88	66.47	31.67	73.63	25	m840	
010	58.55	52.39	47.48	70.14	42	o17s	
020	65.43	35.22	58.37	68.17	59	o42s	
030	75.19	17.82	69.41	71.66	76	o67s	
040	87.03	-3.35	82.83	82.19	92	o92s	
050	80.72	-25.01	69.5	73.86	110	z200	
060	70.64	-39.64	51.97	65.3	127	o60	
070	61.93	-52.1	36.83	63.8	145	z720	
080	52.8	-65.28	20.93	68.56	162	o90	
090	42.57	-89.58	-8.39	90.28	190	l06	
100	57.82	-38.4	-28.92	48.07	217	l72c	
110	67.55	-22.06	-45.05	50.97	244	l110	
120	60.06	41.6	1.37	-45.01	272	c50	
130	62.9	29.0	25.08	-43.13	299	o16m	
140	50.6	38.04	46.53	-28.39	345.1	z29	
150	49.88	48.88	48.88	-3.76	72.98	357	m110

ORS19_96a; adaptierte CIELAB-Daten
 L^* , L^* , a^* , b^* , C_{ab}^* , h^*_{ab} , u^*_c

000	48.75	65.07	39.43	76.08	31		
010	58.55	52.39	47.48	70.14	42		
020	65.43	35.22	58.37	68.17	59		
030	75.19	17.82	69.41	71.66	76		
040	87.03	-3.35	82.83	82.19	92		
050	80.72	-25.01	69.5	73.86	110		
060	70.64	-39.64	51.97	65.3	127		
070	61.93	-52.1	36.83	63.8	145		
080	52.8	-65.28	20.93	68.56	162		
090	42.57	-89.58	-8.39	90.28	190		
100	57.82	-38.4	-28.92	48.07	217		
110	67.55	-22.06	-45.05	50.97	244		
120	60.06	41.6	1.37	-45.01	272		
130	62.9	29.0	25.08	-43.13	299		
140	50.6	38.04	46.53	-28.39	345.1		
150	49.88	48.88	48.88	-3.76	72.98	357	

Ein und Ausgabe: Farbmetrisches Drucker-Reflexiv-System ORS19_96, L* = 19_96 für relative CIELAB-Buntton $h^* = lab^*h^* = h_{ab}/360 = 0.164$ $u^*_c = r50j$

ORS19_96a; adaptierte CIELAB-Daten
 L^* , L^* , a^* , b^* , C_{ab}^* , h^*_{ab} , u^*_c

000	48.88	66.47	31.67	73.63	25	m840	
010	58.55	52.39	47.48	70.14	42	o17s	
020	65.43	35.22	58.37	68.17	59	o42s	
030	75.19	17.82	69.41	71.66	76	o67s	
040	87.03	-3.35	82.83	82.19	92	o92s	
050	80.72	-25.01	69.5	73.86	110	z200	
060	70.64	-39.64	51.97	65.3	127	o60	
070	61.93	-52.1	36.83	63.8	145	z720	
080	52.8	-65.28	20.93	68.56	162	o90	
090	42.57	-89.58	-8.39	90.28	190	l06	
100	57.82	-38.4	-28.92	48.07	217	l72c	
110	67.55	-22.06	-45.05	50.97	244	l110	
120	60.06	41.6	1.37	-45.01	272	c50	
130	62.9	29.0	25.08	-43.13	299	o16m	
140	50.6	38.04	46.53	-28.39	345.1	z29	
150	49.88	48.88	48.88	-3.76	72.98	357	m110

ORS19_96a; adaptierte CIELAB-Daten
 L^* , L^* , a^* , b^* , C_{ab}^* , h^*_{ab} , u^*_c

000	48.75	65.07	39.43	76.08	31	
010	58.55	52.39	47.48	70.14	42	
020	65.43	35.22	58.37	68.17	59	
030	75.19	17.82	69.41	71.66	76	
040	87.03	-3.35	82.83	82.19	92	
050	80.72	-25.01	69.5	73.86	110	
060	70.64	-39.64	51.97	65.3	127	
070	61.93	-52.1	36.83	63.8	145</	

